



مدلسازی دینامیکی و شناسایی پارامترهای مدل پیل سوختی پلیمری هیدروژن-اکسیژن با رطوبتزن یکپارچه

محمدمهری بزرگری^{*}، امیرحسین پهناوی

دانشگاه صنعتی مالک اشتر، پژوهشکده علوم و فناوری شمال، فریدونکنار، ایران.

تاریخچه داوری:

دریافت: ۱۴۰۱/۰۸/۰۹

بازنگری: ۱۴۰۱/۱۲/۱۶

پذیرش: ۱۴۰۱/۱۲/۱۸

ارائه آنلاین: ۱۴۰۲/۰۱/۳۱

خلاصه: پیل سوختی نوعی مبدل انرژی الکتروشیمیایی است که انرژی شیمیایی ذخیره شده در سوخت را به انرژی الکتریکی تبدیل می‌نماید. ساختار غیرخطی، دینامیک متغیر با زمان و پارامترهای فیزیکی نامعین از چالش‌های کار با پیل‌های سوختی پلیمری می‌باشد. در این مقاله، مدل‌سازی جعبه خاکستری و شناسایی سیستم پیل سوختی پلیمری هیدروژن-اکسیژن سه سلوی انتها باز با رطوبتزن یکپارچه مورد بررسی قرار گرفته است. در ابتدا، مدل‌سازی صفر بعدی غیرخطی سیالاتی، ترمودینامیکی و الکتروشیمیایی پیل سوختی انجام شده است. مدل پیل سوختی ارائه شده در این پژوهش از نوع چند ورودی-یک خروجی می‌باشد. در ادامه، پارامترهای ثابت پیل سوختی مورد مطالعه با استفاده از روش شناسایی پارامتر تعیین گردید. فرآیند شناسایی سیستم بر اساس کمینه‌سازی خطای پیش‌بینی، به روش ناحیه‌های صحیح انگکاسی نیوتون انجام شده است. پیل سوختی مورد نظر تحت شرایط مختلف دمای سری، فشار ورودی گازهای واکنش دهنده و جریان سری مورد آزمون قرار گرفت و ۳۳۹۴۳ داده آزمایشگاهی بدست آمده است که با توجه به شرایط آزمایش دسته‌بندی داده‌ها به ۱۸۹ حالت مختلف صورت پذیرفت. نتایج نشان می‌دهد که میانگین خطای ولتاژ مدل پیل سوختی شناسایی شده در مقایسه با داده‌های آزمایشگاهی برابر با $1/0^{+3}$ درصد می‌باشد. همچنین، همبستگی میان ولتاژ پیل سوختی و پارامترهای مدل شناسایی شده بررسی و تحلیل شده است که نتایج نشان داد که همبستگی ولتاژ پیل سوختی به مقاومت تماسی معادل هدایت الکترون بیشتر از ضرایب اریفیس‌ها می‌باشد.

کلمات کلیدی:

پیل سوختی پلیمری
شناسایی پارامتر
مدلسازی جعبه خاکستری
رطوبتزن یکپارچه
داده آزمایشگاهی

پیل سوختی مطالعه با استفاده از روش شناسایی پارامتر تعیین گردید. فرآیند شناسایی سیستم بر اساس کمینه‌سازی خطای پیش‌بینی، به روش ناحیه‌های صحیح انگکاسی نیوتون انجام شده است. پیل سوختی مورد نظر تحت شرایط مختلف دمای سری، فشار ورودی گازهای واکنش دهنده و جریان سری مورد آزمون قرار گرفت و ۳۳۹۴۳ داده آزمایشگاهی بدست آمده است که با توجه به شرایط آزمایش دسته‌بندی داده‌ها به ۱۸۹ حالت مختلف صورت پذیرفت. نتایج نشان می‌دهد که میانگین خطای ولتاژ مدل پیل سوختی شناسایی شده در مقایسه با داده‌های آزمایشگاهی برابر با $1/0^{+3}$ درصد می‌باشد. همچنین، همبستگی میان ولتاژ پیل سوختی و هدایت الکترون بیشتر از ضرایب اریفیس‌ها می‌باشد.

۱- مقدمه

تولید انرژی الکتریکی و حرارت به صورت همزمان کاربردهای زیادی پیدا کرده‌اند. به طور معمول، غشاء پیل سوختی برای انجام واکنش الکتروشیمیایی از نفیون ساخته می‌شود. نفیون تنها در حضور آب توانایی هدایت پروتون را دارد می‌باشد. بنابراین، برای تضمین انتقال مناسب پروتون نیاز به رطوبتزنی گازهای واکنش دهنده می‌باشد. اگرچه، انباسته شدن بیش از حد آب در لایه نفوذ گازی منجر به افزایش مقاومت غلظتی و کاهش عملکرد و طول عمر پیل سوختی پلیمری می‌گردد [۲]. برای رطوبتزنی گازهای واکنش دهنده می‌توان از رطوبتزن‌های خارجی و همچنین رطوبتزن‌های یکپارچه با پیل سوختی استفاده نمود. بهارلو و افساری [۳] مقایسه روش‌های مرطوب‌سازی گازهای واکنشگر سمت آند و کاتد را مورد بررسی قراردادند. از جمله معایب رطوبتزن خارجی افزایش تعداد اتصالات و اجزاء، تعداد نقاط در معرض نشتی و حجم سیستم می‌باشد که در نتیجه آن قابلیت اعتماد سیستم نیز کاهش می‌یابد [۴]. همچنین، کنترل دشوار رطوبت خروجی از رطوبتزن یکپارچه

پیل سوختی نوعی مبدل الکتروشیمیایی است که انرژی حاصل از واکنش شیمیایی سوخت را به صورت مستقیم به انرژی الکتریکی تبدیل می‌نماید. در یک پیل سوختی، سوخت به صورت منظم و بیوسته به الکترود آند و اکسیژن به الکترود کاتد وارد می‌شود و واکنش‌های الکتروشیمیایی در الکترودها صورت می‌پذیرد. معمولاً گاز هیدروژن به دلیل چگالی انرژی بالا به عنوان سوختی پرکاربرد در پیل سوختی مورد استفاده قرار می‌گیرد. یکی از مهم‌ترین و پرکاربردترین انواع پیل سوختی، پیل سوختی پلیمری می‌باشد که ویژگی‌های منحصر به فردی از قبیل بازدهی بالا، عدم تولید گاز گلخانه‌ای، راهاندازی سریع و آسان، عمر طولانی به دلیل نداشتن قطعات متحرک، مازوپلار بودن و بی صدا بودن باعث جلب توجه پژوهشگران و صنایع مختلف به آن شده است [۱]. پیل‌های سوختی در محدوده وسیع توان الکتریکی (از چند وات تا مگاوات) توان الکتریکی تولید می‌نمایند و در زمینه‌های متنوع

* نویسنده عهدهدار مکاتبات: barzegari@mut.ac.ir

حقوق مؤلفین به نویسنده‌گان و حقوق ناشر به انتشارات دانشگاه امیرکبیر داده شده است. این مقاله تحت لیسانس آفرینندگی مردمی (Creative Commons License) در دسترس شما قرار گرفته است. برای جزئیات این لیسانس، از آدرس <https://www.creativecommons.org/licenses/by-nc/4.0/legalcode> دیدن فرمائید.



همانند مدل‌های تحلیلی بر اساس معادلات فیزیکی نبوده، بلکه از طریق داده‌های آزمایشگاهی مناسب استنباط می‌گردد. داده‌های آزمایشگاهی به دو مجموعه مختلف تقسیم‌بندی می‌گردد، که مجموعه اول جهت شناسایی روابط ورودی/خروجی و دیگری جهت صحبت‌سنجد استفاده می‌شوند. پیاده‌سازی مدل‌های جعبه سیاه برای کاربردهای مانیتورینگ آنلاین، کنترل و عیوب‌یابی سیستم‌های غیرخطی همانند پیل‌سوختی پلیمری به دلیل عدم نیاز به محاسبات عددی بسیار مناسب می‌باشد. عیوب مدل جعبه سیاه وابستگی به انجام آزمایشات زیاد برای شناسایی می‌باشد که عمومیت این مدل را نسبت به مدل جعبه سفید کاهش می‌دهد.

در زمان نیاز به عمومیت بالا، مدل‌های جعبه خاکستری که دربردارنده مزایای هر دو مدل تجربی و فیزیکی می‌باشد راه حل جایگزین مناسبی به شمار می‌رود. مدل‌های جعبه خاکستری بر پایه قوانین فیزیکی می‌باشند که از داشت پیشین (همانند داده‌ها) بدست آمده و جایگزین برخی از معادلات ریاضی پیچیده می‌گردد. بنابراین، این روش مشکل محاسبات زیاد مربوط به مدل‌های جعبه سفید را حل می‌نماید.

جهت بهره‌گیری همزمان از محسن دو روش جعبه سفید و جعبه سیاه یعنی تعمیم‌پذیری بیشتر و همچنین بکارگیری روابط ساده‌تر می‌توان از مدل‌سازی جعبه خاکستری استفاده نمود. بطور معمول، در مدل‌های جعبه خاکستری از مدل‌های صفر بعدی یا گستته به دلیل سادگی در محاسبات و زمان محاسبات کمتر جهت کنترل سیستم به صورت برخط و زمان واقعی استفاده می‌شود [۷]. مدل‌سازی جعبه خاکستری همزمان دارای مزایای روش‌های فیزیکی (روابط ریاضی قوانین فیزیکی) و تجربی (داده‌های آزمایشگاهی) می‌باشد. مدل‌هایی که براساس روش جعبه خاکستری بدست آمده‌اند، بر پایه قوانین فیزیکی می‌باشند که بر اساس اطلاعات قبلی بدست آمده و جایگزین برخی از معادلات ریاضی پیچیده می‌گردد.

زلر و همکاران [۸] مدل بر پایه مدار جریان را با استفاده از روش شناسایی پارامتر جهت مانیتورینگ و کنترل پیل‌سوختی توسعه دادند. در این مدل، اتلاف‌های فعال‌سازی و غلطیتی به عنوان دو منبع ولتاژ با علامت مخالف ولتاژ نرنست (ولتاژ مدار باز) مدل می‌شوند. همچنین، مقاومت نیز بیان کننده اتلاف اهمی سیستم می‌باشد. هرناندز و همکاران [۹] مدلی را ارائه نمودند که توانایی شناسایی رفتار سیستم در حالت غرقابی را داراست. مدل آن‌ها امکان مطالعه بر روی ترکیب و فشار جزیی گازها را می‌دهد. غشاء و لایه نفوذ گاز نیز در این مدل شبیه‌سازی دخالت داده شده‌اند. با این وجود، مدل الکتریکی به تنهایی برای شبیه‌سازی رفتار سیستم در شرایط خاص کافی نمی‌باشد. به

نیز از معایب این نوع از رطوبت‌زن‌ها به شمار می‌رود. خورشیدیان و همکاران [۵] عملکرد سیستم توان یکپارچه سری پیل‌سوختی پلیمری انتهای بسته هیدروژن-اکسیژن با سطح فعال بزرگ و سیستم رطوبت‌زن داخلی را به صورت آزمایشگاهی مورد بررسی قرار دادند.

با توجه به پیچیدگی پیل‌های سوختی پلیمری، داشتن مدل‌های ریاضی مناسب برای تحلیل و پیش‌بینی رفتار دینامیکی آن‌ها سودمند می‌باشد. علاوه بر این، مدل‌های دقیق را می‌توان برای بهینه‌سازی طراحی، کنترل شرایط عملیاتی و تشخیص عیوب پیل‌های سوختی پلیمری نیز بکار برد.

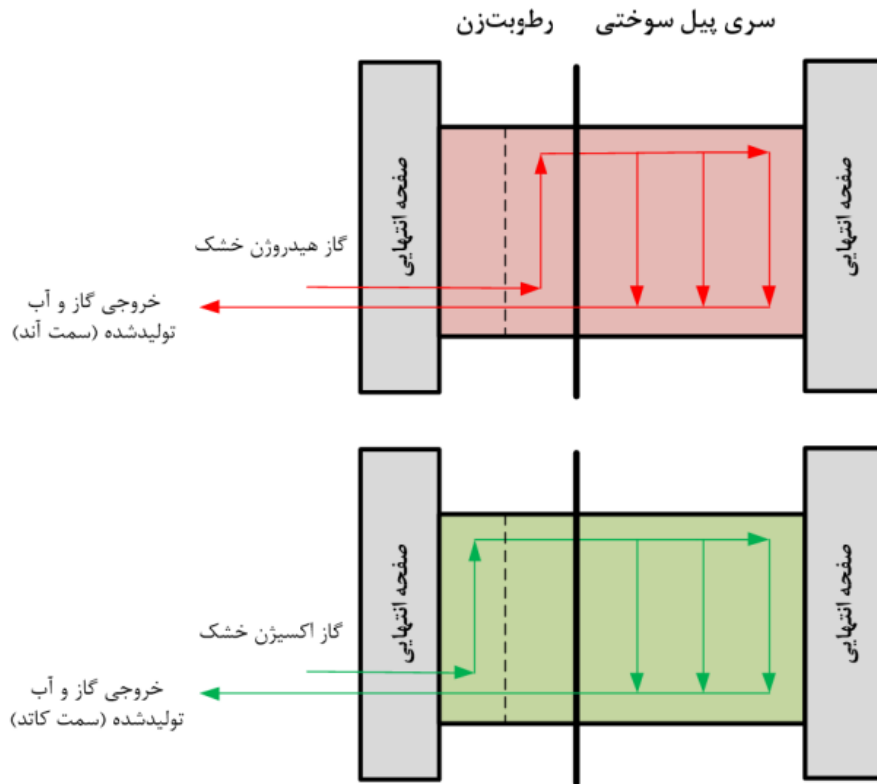
یک مدل بیانگر سیستمی فیزیکی با ساختار پیچیده می‌باشد. هر مدل به واسطه پارامترهای مختلفی که اغلب نامعلوم می‌باشند توصیف می‌گردد. برای تضمین صحت مدل، باید این پارامترها به طور مناسب شناسایی شده و قابل از بکارگیری صحت‌سنجد گردند. رفتار پیل‌های سوختی پلیمری معمولاً از طریق منحنی قطبیت مورد ارزیابی قرار می‌گیرد. با این وجود، تکنیک‌های دیگری از جمله ولتمتری سیکلی، وقهه جریان یا طیف‌سنجدی آمدانس الکتروشیمیایی نیز می‌تواند مورد استفاده قرار گیرد. فرایند صحت‌سنجدی به عنوان گام نهایی در مدل‌سازی سیستم به شمار می‌رود و شامل مقایسه بین نتایج شبیه‌سازی و اندازه‌گیری می‌باشد. صحت‌سنجدی می‌باشد با استفاده از داده‌های جدید که در قسمت شناسایی مورد استفاده قرار نگرفته‌اند انجام پذیرد. پس از صحت‌سنجدی مدل بدست آمده، پیش‌بینی رفتار پیل‌سوختی در شرایط مختلف امکان‌پذیر می‌باشد. با توجه به نوع پژوهش و نیاز پژوهشگران می‌توان از مدل‌های مختلفی از جمله مدل جعبه سفید، مدل جعبه سیاه و مدل جعبه خاکستری استفاده نمود که مدل‌های بدست آمده را می‌توان جهت تحلیل، کنترل، عیوب‌یابی و پیش‌بینی عملکرد پیل‌سوختی بکار گرفت [۶].

مدل‌های تحلیلی که مشهور به مدل‌های جعبه سفید نیز می‌باشند، از معادلات دیفرانسیلی استفاده نموده تا رفتار سیستم را شبیه‌سازی نماید. این مدل‌ها معمولاً بسیار دقیق بوده و بر پایه روابط تئوری می‌باشد. در مدل‌سازی پیل‌سوختی پلیمری، به طور معمول برای نمایش پدیده‌های انتقال بار (الکتریکی و یونی) و انتقال جرم از قوانین نرنست-پلانک، باتلر-لومر و فیک استفاده می‌گردد. با توجه به پیچیدگی پیل‌سوختی، استفاده از مدل‌های جعبه سفید در جهت طراحی سیستم و طراحی الگوریتم‌های عیوب‌یابی بهره‌برداری می‌گردد. مدل‌هایی که به طور مستقیم از آزمایشات بدست می‌آید با نام جعبه سیاه نیز شناخته می‌شوند. مدل‌های جعبه سیاه بر اساس داده‌های آماری می‌باشد. در این مدل، روابط بین ورودی‌ها و خروجی‌های سیستم

چاوان و تلانگ [۱۶] شناسایی سیستم پیل سختی با سطح فعال ۲۵ سانتیمتر مری را با استفاده از روابط ساده برای شرایط مختلف عملکردی انجام دادند. مدل بدست آمده در پیش‌بینی منحنی قطبیت پیل سختی پلیمری تحت شرایط مختلف بار بکار گرفته می‌شود. کلووانی و همکاران [۱۷] بر روی روش کنترل تطبیقی با هدف دستیابی به بیشینه کارایی پیل سختی پلیمری تحقیق نمودند. روش کنترل تطبیقی مورد نظر دارای شناسایی سیستم برخط بوده که نیازی به مدل دینامیکی دقیق پیل سختی پلیمری نداشته و پارامترهای مرتبط با کارایی پیل سختی را تخمین می‌زنند. پیناگاپانی و همکاران [۱۸] روی مدلسازی دینامیکی و شبیه‌سازی پیل سختی پلیمری تحقیق نمودند. آن‌ها مدل ولتاژ پیل سختی پلیمری را بر اساس داده‌های آزمایشگاهی و نیز با استفاده از شناسایی سیستم در نرم‌افزار متلب توسعه دادند. صحبت‌سنگی مدل بدست آمده از طریق مقایسه پاسخ مدل تخمینی و داده‌های واقعی مورد بررسی قرار گرفت.

با مروری بر پژوهش‌های پیشین می‌توان دریافت که مدلسازی و شناسایی سیستم پیل‌های سختی پلیمری و استفاده از مدل‌ها در بهینه‌سازی، تحلیل، شناسایی عیب و کنترل عملکرد پیل‌های سختی توسط محققین مختلف بررسی شده و پیشرفت زیادی در این بخش حاصل گردیده است. مدلسازی چندبعدی پیل سختی (با توجه به نیاز به مش‌بندی مدل) جهت تحلیل رفتار سیستم دارای هزینه‌های محاسباتی بسیار زیادی بوده و امکان بکارگیری این مدل‌ها در مصارف برخط وجود ندارد. از این‌رو، استفاده از مدل‌های جعبه خاکستری صفر بعدی مورد توجه بسیاری از پژوهشگران قرار گرفته است. مدل‌های پیل سختی پلیمری مورد مطالعه در کارهای پیشینان معمولاً مدل‌های جعبه سفید و یا جعبه سیاه بوده و پژوهش‌های کمی در زمینه مدلسازی جعبه خاکستری پیل‌های سختی پلیمری انجام شده است. در این پژوهش، برای دستیابی به مدل جعبه خاکستری سری پیل سختی پلیمری انتهایاز هیدرولیک-اکسیژن با رطوبت‌زن یکپارچه، در ابتدا بازنویسی معادلات غیرخطی حاکم بر پیل سختی صورت پذیرفت. پیل سختی مورد نظر شامل سه سلول بوده و معادلات حاکم بر آن علاوه بر معادلات الکتروشیمیایی شامل معادلات دینامیک سیال و روابط ترمودینامیکی نیز می‌باشد. پارامترهای نامعلوم مدل بر پایه روش شناسایی پارامتر تعیین و با استفاده از داده‌های آزمایشگاهی صحبت‌سنگی گردیده است. ۳۲۹۴۲۰ آزمایشگاهی در ۱۸۹ حالت مختلف دسته‌بندی شده و برای هر حالت نیز یک مقدار منتخب برای فشار، دما، جریان و ولتاژ خروجی پیل سختی بر اساس روش حذف داده‌های پرت انتخاب شده است. جهت بدست آوردن این

همین دلیل، پارامترها از طریق روش حداقل مربعات بازگشتی و خطی‌سازی سیستم حول نقطه عملیاتی در زمان واقعی شناسایی می‌گردد. کارنس و جیالالی [۱۰] با استفاده از الگوریتم حداقل مربعات غیرخطی مقید و داده‌های آزمایشگاهی موجود در پژوهش‌های دیگران، ضرایب هدایت یونی غشاء، تبادل چگالی جریان در کاتد و آند و نفوذ اکسیژن در لایه‌های نفوذ گاز و کاتالیست را تخمین زندند. آن‌ها برای مدلسازی پیل سختی پلیمری از معادلات یکبعدی الکتروشیمی استفاده نمودند. عثمان و همکاران [۱۱] شناسایی پارامترهای پیل سختی پلیمری را با استفاده از روش بهینه‌سازی بر پایه کوانتم ارائه نمودند. روش ارائه شده بر روی پیل سختی ۱/۲ کیلوواتی بالارد بکار گرفته شد تا پارامترهای پیل سختی تعیین گردد. مقایسه بین نتایج شبیه‌سازی و داده‌های آزمایشگاهی حاکی از دقت مناسب روش پیشنهادی می‌باشد. بر=زگری و همکاران [۱۲] پیل سختی پلیمری پلکانی انتهایاسته با رطوبت‌زن و جداساز یکپارچه را مدلسازی نمودند. مدل آن‌ها مبتنی بر مدل جعبه خاکستری بر پایه شناسایی پارامتر بوده است. در این مدل، روابط صفر بعدی غیرخطی سیالاتی، ترمودینامیکی و الکتروشیمیایی در نظر گرفته شده است. نتایج پژوهش آن‌ها حاکی از تطابق بسیار مناسب بین نتایج شبیه‌سازی و داده‌های آزمایشگاهی بوده است. به و همکاران [۱۳] به شناسایی پارامترهای پیل سختی پلیمری با استفاده از الگوریتم بهینه‌سازی تجمع ذرات پرداختند. آن‌ها با استفاده از داده‌های شبیه‌سازی و آزمایشگاهی، صحبت مدل پیشنهادی خود را تایید نمودند. نکته باز در مدل ذکر شده عدم حساسیت به حدس اولیه و همچنین عملکرد مناسب مدل در حضور نویز می‌باشد. سلیم و همکاران [۱۴] در سال ۲۰۱۳ نتایج شبیه‌سازی سری پیل سختی پلیمری ۳ کیلووات را از طریق شناسایی ۱۳ پارامتر نامعلوم مدل با مشخصات منحنی قطبیت آزمایشگاهی تطبیق دادند. مدل بدست آمده توسط آن‌ها سپس با روش بهینه‌سازی تجمع ذرات بهینه گردید. لیرا و همکاران [۱۵] یکی از کارهای انجام شده در زمینه عیب‌یابی پیل سختی پلیمری را با استفاده از مدل بر پایه مشاهده‌گر ارائه نمودند. آن‌ها این مدل را بر روی پیل سختی صنعتی شرکت بالارد با شبیه‌سازی عیب‌های مختلف انجام دادند. مدلسازی فیزیکی بر اساس قانون بقای جرم و اصول الکتروشیمیایی، ترمودینامیکی و دینامیک سیالاتی صفر بعدی بوده که با معادلات تجربی کوپل گردیده است. آن‌ها برای محاسبه مانده از مشاهده‌گر تغییر پارامتر خطی با ساختار لیونبرگ استفاده نمودند. این روش منتج به خطی‌سازی معادلات سیستم گشته و مساله تحلیلی را در فرم فضای حالت زمان گستته حل می‌نماید.



شکل ۱. شماتیک پیل سوختی پلیمری سه سل هیدروژن-اکسیژن انتهاباز با رطوبتزن یکپارچه.

Fig. 1. Schematic of flow-through three-cell hydrogen-oxygen PEM fuel cell with integrated humidifier.

واکنشگر خشک استفاده می‌شود.

پیل سوختی مورد مطالعه در این پژوهش از نوع انتهایا باز با رطوبتزن یکپارچه می‌باشد. مدل استفاده شده برای پژوهش از نوع صفر بعدی بوده و شامل سه بخش اصلی دینامیک سیالاتی، ترمودینامیکی و الکتروشیمیایی می‌باشد. در این پژوهش، مدل سازی پیل سوختی پلیمری مورد نظر براساس فرضیات ذیل صورت می‌گیرد [۲]:

- کلیه گازهای واکنشده و فراورده ایدهآل در نظر گرفته می‌شوند.
- گازهای واکنشده به صورت کاملاً خشک (رطوبت صفر) و خالص وارد رطوبتزن می‌شود.
- توزیع گرما در تمام قسمت‌های رطوبتزن و سری پیل سوختی به صورت یکنواخت در نظر گرفته می‌شود.
- عملکرد تمام سلول‌های پیل سوختی مشابه یکدیگر می‌باشد.
- جریان گازهای واکنشده و فراورده آرام در نظر گرفته می‌شود.

داده‌ها، فشار، دما و جریان به عنوان ورودی پیل سوختی و ولتاژ به عنوان خروجی پیل سوختی اندازه‌گیری و ثبت شده است. این نکته قابل ذکر است که استفاده از مدل در بهینه‌سازی و بازطراحی پیل سوختی با توجه به کاهش قابل توجه زمان و همچنین هزینه‌های ساخت از جمله مزایای این پژوهش می‌باشد.

۲- مدلسازی پیل سوختی پلیمری هیدروژن-اکسیژن انتهاباز با رطوبتزن یکپارچه

شکل ۱ شماتیک سیستم پیل سوختی مورد نظر که از دو بخش سری و رطوبتزن یکپارچه تشکیل شده است را نمایش می‌دهد. سری پیل سوختی انتهاباز و دارای سه پیل می‌باشد که هیدروژن در سمت آند پیل سوختی و اکسیژن در سمت کاتد جریان می‌یابد. رطوبت مناسب واکنشگرها (هیدروژن و اکسیژن) جهت به حداقل رساندن خطر خشکی غشاء از طریق رطوبتزن غشایی تحت با میدان شارش مارپیچ بدست می‌آید. تعداد دو پیل رطوبتزنی در نظر گرفته شده است که هر پیل برای رطوبتزنی یکی از گازهای

۱-۲- مدل دینامیک سیالات

در این بخش، مدلسازی دینامیک سیال رطوبتزن و سری پیل سوتی مورد بررسی قرار می‌گیرد. برقراری قانون پایستگی جرم اساس این معادلات می‌باشد.

۲-۱- رطوبتزن

در این قسمت، مدل ریاضی رطوبتزن گازهای واکنشگر هیدروژن و اکسیژن ارائه می‌گردد. همانطور که بیان گردید، گازهای خشک واکنشگر در ابتدا وارد رطوبتزن و پس از آن گازهای مرطوب وارد سری پیل سوتی می‌شود. مدل ریاضی رطوبتزن اکسیژن فرایند رطوبتزنی گاز اکسیژن پیش از ورود به سمت کاتد سری پیل سوتی را بیان می‌نماید. معادلات بر اساس قانون بقای جرم برای هر جزء نوشته می‌شود [۱۹].

$$\dot{m}_{v,memb,Hu(i)} = \left(D_w \right)_{Hu} \frac{(c_2)_{Hu(i)} - (c_1)_{Hu(i)}}{t_{m,Hu}} M_v A_{Hu} n_{Hu(i)} \quad (۷)$$

$$\dot{m}_{v,out,Hu(i)} = \frac{m_{v,Hu(i)}}{m_{i,Hu(i)} + m_{v,Hu(i)}} k_{a,Hu(i)} (p_{Hu(i)} - p_{a,Hu(i)}) \quad (۸)$$

که t_m ضخامت غشاء و k ثابت اوریفیس می‌باشد.
زیرنویس‌های "a, Hu(i)" و "b, Hu(i)" به ترتیب بیانگر ورودی و خروجی رطوبتزن می‌باشد. c_1 و c_2 غلظت مولی غشاء در تماس با واکنشگرها و آب و D_w ضریب انتقال بخار غشاء می‌باشد که روابط آن‌ها در مرجع [۱۹] ارائه شده است.

۲-۲- سری پیل سوتی

گازهای واکنش‌دهنده خروجی از رطوبتزن وارد سری پیل سوتی می‌گردد. موازنۀ جرمی برای سمت آند و کاتد براساس پایستگی جرم با روابط زیر توصیف می‌شود [۲۰]:

$$\dot{m}_{H_2,FC} = \dot{m}_{H_2,in,FC} - \dot{m}_{H_2,out,FC} - \dot{m}_{H_2,reacted,FC} \quad (۹)$$

که $\dot{m}_{v,memb}$ نرخ جریان جرمی آب عبوری از غشاء می‌باشد. مدل ریاضی رطوبتزن هیدروژن مشابه با رطوبتزن اکسیژن می‌باشد و هیدروژن رطوبتزنی شده وارد سمت آند سری پیل سوتی می‌شود. معادلات بقای جرم برای رطوبتزن هیدروژن به صورت زیر بیان می‌گردد [۱۹].

$$\dot{m}_{H_2,Hu(H_2)} = \dot{m}_{H_2,in,Hu(H_2)} - \dot{m}_{H_2,out,Hu(H_2)} \quad (۱۰)$$

$$\dot{m}_{v,in,FC} = \dot{m}_{v,in,in,FC} - \dot{m}_{v,in,out,FC} - \dot{m}_{v,in,GDL2ch,FC} + \dot{m}_{evap,in,FC} \quad (۱۱)$$

$$\dot{m}_{v,Hu(H_2)} = \dot{m}_{v,memb,Hu(H_2)} - \dot{m}_{v,out,Hu(H_2)} \quad (۱۲)$$

$$\dot{m}_{l,in,FC} = -\dot{m}_{l,in,GDL2ch,FC} - \dot{m}_{l,in,out,FC} - \dot{m}_{evap,in,FC} \quad (۱۱)$$

زیرنویس‌های $Hu(H_2)$ و $Hu(O_2)$ به ترتیب مربوط به رطوبتزن اکسیژن و هیدروژن می‌باشد. عبارات موجود در معادله (۱۱) تا معادله (۱۲) به صورت زیر تعریف می‌شوند:

$$\dot{m}_{v,ca,FC} = \dot{m}_{v,ca,in,FC} - \dot{m}_{v,ca,out,FC} + \dot{m}_{v,ca,GDL2ch,FC} + \dot{m}_{evap,ca,FC} \quad (۱۳)$$

$$\dot{m}_{i,in,Hu(i)} = k_{b,Hu(i)} (p_{b,Hu(i)} - p_{Hu(i)}) \quad (۱۴)$$

$$\dot{m}_{O_2,out,FC} = \frac{m_{O_2,FC}}{m_{O_2,FC} + m_{v,ca,FC}} k_{a,ca,st} (p_{ca,FC} - p_{atm}) \quad (۲۴)$$

$$\dot{m}_{l,ca,FC} = \dot{m}_{l,ca,GDL2ch,FC} - \dot{m}_{l,ca,out,FC} - \dot{m}_{evap,ca,FC} \quad (۱۴)$$

$$\dot{m}_{O_2,reacted,FC} = M_{O_2} \times \frac{n_{st} I_{st}}{4F} \quad (۲۵)$$

عبارت‌های معادلات (۹) تا (۱۴) به صورت زیر تعریف می‌گردد [۲]

: [۲۲-۲۰]

$$\dot{m}_{v,ca,in,FC} = \dot{m}_{v,out,Hu} \quad (۲۶)$$

$$\dot{m}_{H_2,in,FC} = \dot{m}_{H_2,out,Hu} \quad (۱۵)$$

$$\dot{m}_{v,ca,out,FC} = \frac{m_{v,ca,FC}}{m_{O_2,FC} + m_{v,ca,FC}} k_{a,ca,st} (p_{ca,FC} - p_{atm}) \quad (۲۷)$$

$$\dot{m}_{H_2,out,FC} = \frac{m_{H_2,FC}}{m_{H_2,FC} + m_{v,an,FC}} k_{a,an,st} (p_{an,FC} - p_{atm}) \quad (۱۶)$$

$$\dot{m}_{v,ca,GDL2ch,FC} = N_{v,ca,FC} M_v A_{FC} n_{st} \quad (۲۸)$$

$$\dot{m}_{H_2,reacted,FC} = M_{H_2} \times \frac{n_{st} I_{st}}{2F} \quad (۱۷)$$

$$\dot{m}_{evap,ca,FC} = \min \left(\begin{array}{l} A_{FC} (p_{sat}(T_{FC}) - p_{v,ca,FC}), \\ \sqrt{\frac{M_v}{2\pi RT_{FC}}} \cdot \dot{m}_{l,ca,GDL2ch,FC} \end{array} \right) \quad (۲۹)$$

$$\dot{m}_{v,an,in,FC} = \dot{m}_{v,out,Hu} \quad (۱۸)$$

$$\dot{m}_{v,an,out,FC} = \frac{m_{v,an,FC}}{m_{H_2,FC} + m_{v,an,FC}} k_{a,an,st} (p_{an,FC} - p_{atm}) \quad (۱۹)$$

$$\dot{m}_{l,ca,GDL2ch,FC} = A_{FC} n_{st} \rho_w \frac{KS_{ca,FC}^3}{\mu_w} \left| \frac{dp_{c,ca,FC}}{dS_{ca,FC}} \right| \frac{S_{ca,FC}}{t_{GDL}} \quad (۳۰)$$

$$\dot{m}_{v,an,GDL2ch,FC} = N_{v,an,FC} M_v A_{FC} n_{st} \quad (۲۰)$$

فشار مویننگی بوده و از مرجع [۱۲] تعیین می‌گردد. $p_{c,i,FC}$ که نیز حجم تخلخل لایه نفوذ گاز می‌باشد. همچنین، $N_{v,an,FC}$ نیز توسط روابط زیر بیان می‌شوند:

$$\dot{m}_{evap,an,FC} = \min \left(\begin{array}{l} A_{FC} (p_{sat}(T_{FC}) - p_{v,an,FC}), \\ \sqrt{\frac{M_v}{2\pi RT_{FC}}} \cdot \dot{m}_{l,an,GDL2ch,FC} \end{array} \right) \quad (۲۱)$$

$$N_{v,an,FC} = D_{v,an,FC} \frac{C_{v,an,FC} - C_{v,an,GDL,FC}}{t_{GDL}} \quad (۳۱)$$

$$\dot{m}_{l,an,GDL2ch,FC} = -A_{FC} n_{st} \rho_w \frac{KS_{an,FC}^3}{\mu_w} \left| \frac{dp_{c,an,FC}}{dS_{an,FC}} \right| \frac{S_{an,FC}}{t_{GDL}} \quad (۲۲)$$

$$N_{v,ca,FC} = -D_{v,ca,FC} \frac{C_{v,ca,FC} - C_{v,ca,GDL,FC}}{t_{GDL}} \quad (۳۲)$$

$$\dot{m}_{O_2,in,FC} = \dot{m}_{O_2,out,Hu} \quad (۲۳)$$

فشار جزیی بخار آب درون لایه نفوذ گازی سمت آند و کاتد پیلسوختی

به صورت زیر تعریف می‌گردد [۲۰]:

۲-۲-۱- مدل ترمودینامیکی

معادلات حرارتی رطوبتزن و سری پیل سوختی غشاء پلیمری در این بخش مورد بررسی قرار می‌گیرد. دما یکی از پارامترهای تاثیرگذار بر عملکرد پیل سوختی پلیمری می‌باشد. بنابراین، دما باید با استفاده از سیستم خنک‌کاری در محدوده مناسب نگاه داشته شود. مدل ترمودینامیکی با استفاده از روابط موازنۀ انرژی تعیین می‌گردد.

$$m_{Hu} C_{p,Hu} \dot{T}_{Hu} = \dot{Q}_{in,Hu} - \dot{Q}_{out,Hu} - \dot{Q}_{heat,Hu} - \dot{Q}_{rad,Hu} - \dot{Q}_{latent,Hu} - \dot{Q}_{cond,Hu-FC} - \dot{Q}_{cond,Hu-EP} \quad (41)$$

۲-۲-۱- رطوبتزن

مدل ریاضی برای رطوبتزن غشاء‌بی مورد نظر با استفاده از معادله زیر تعیین می‌گردد.

نرخ جریان حرارتی ورودی، \dot{Q}_{in}
نرخ جریان انرژی گرمایش، \dot{Q}_{rad}
نرخ جریان انرژی تشعشعی، \dot{Q}_{heat}
نرخ جریان انرژی نهفته مربوط به تغییر فاز در رطوبتزن، \dot{Q}_{latent}
نرخ جریان انرژی هدایتی بین رطوبتزن و سری پیل سوختی و $\dot{Q}_{cond,Hu-FC}$
نرخ جریان انرژی هدایتی بین رطوبتزن و $\dot{Q}_{cond,Hu-EP}$
صفحه انتهایی می‌باشد که از مرجع [۱۲] تعیین می‌گردد.

۲-۲-۲- سری پیل سوختی

مقدار انرژی که به انرژی الکتریکی تبدیل نشده است با مجموعه‌ای از عبارت‌های مختلف انرژی بیان می‌گردد که با عملکرد پیل سوختی ارتباط دارد [۲۳].

$$m_{FC} C_{p,FC} \dot{T}_{FC} = \dot{Q}_{in,FC} - \dot{Q}_{out,FC} - \dot{Q}_{chem,FC} - \dot{Q}_{elec,FC} - \dot{Q}_{cool,FC} - \dot{Q}_{rad,FC} - \dot{Q}_{latent,FC} + \dot{Q}_{cond,Hu-FC} \quad (42)$$

نرخ انرژی تولیدی توسط واکنش‌های شیمیایی، $\dot{Q}_{chem,FC}$
نرخ انرژی الکتریکی پیل سوختی و $\dot{Q}_{cool,FC}$ نرخ انرژی خارج شده توسط سیستم خنک‌کاری می‌باشد. عبارت‌های معادله (۴۲) با استفاده از روابط موجود در مرجع [۲۳] تعیین می‌گردد.

$$\dot{P}_{v,an,GDL,FC} = RT_{FC} \left(\frac{N_{v,an,FC} - N_{v,memb,FC}}{t_{GDL}} + R_{evap,an,FC} \right) \quad (33)$$

$$\dot{P}_{v,ca,GDL,FC} = RT_{FC} \left(\frac{N_{v,gen,FC} + N_{v,memb,FC} - N_{v,ca,FC}}{t_{GDL}} + R_{evap,ca,FC} \right) \quad (34)$$

[۲۰] که $N_{v,memb,FC}$ و $N_{v,gen,FC}$ از مرجع [۲۰] تعیین می‌گردد.

معادلات حجم آب تولید شده در هر دو سمت آند و کاتد براساس پایستگی جرم به صورت معادلات زیر بیان می‌گردد [۲۰]:

$$\rho_w \dot{V}_{l,an,GDL,FC} = \dot{m}_{l,an,GDL2ch,FC} - R_{evap,an,FC} M_v \varepsilon V_{GDL} \quad (35)$$

$$\rho_w \dot{V}_{l,ca,GDL,FC} = \dot{m}_{l,ca,GDL2ch,FC} - R_{evap,ca,FC} M_v \varepsilon V_{GDL} \quad (36)$$

با توجه به انتهای باز بودن پیل سوختی مورد مطالعه، معادلات توصیف کننده قانون پایستگی جرم آب و گازهای خروجی را می‌توان به صورت زیر بازنویسی کرد [۲۱]:

$$\dot{m}_{i,out,FC} = \frac{m_{i,FC} k_{a,an,FC}}{m_{H_2FC} + m_{v,an,FC}} (p_{an,FC} - p_{atm}), \quad i = H_2, (v, an) \quad (37)$$

$$\dot{m}_{i,out,FC} = \frac{m_{i,FC} k_{a,ca,FC}}{m_{O_2FC} + m_{v,ca,FC}} (p_{ca,FC} - p_{atm}), \quad i = O_2, (v, ca) \quad (38)$$

$$\dot{m}_{l,an,out,FC} = k_{l,a,an,FC} (p_{an,FC} - p_{atm}) \quad (39)$$

$$\dot{m}_{l,ca,out,FC} = k_{l,a,ca,FC} (p_{ca,FC} - p_{atm}) \quad (40)$$

۲-۳- مدل الکتروشیمیایی

۳- شناسایی سیستم پیل سوختی پلیمری هیدروژن-اکسیژن

انتهاباز با رطوبتزن یکپارچه

شناسایی مدل سری پیل سوختی پلیمری هیدروژن-اکسیژن انتهاباز با رطوبتزن یکپارچه در این بخش مورد بررسی قرار می‌گیرد. پس از مدلسازی صفر بعدی، تست‌های آزمایشگاهی مرتبط با سری ۳ سلولی با توان نامی ۷۰۰ وات مورد نظر انجام می‌گیرد. نتایج بدست‌آمدۀ از تست‌ها در شناسایی پارامترهای نامعلوم مدل سری پیل سوختی و صحّت‌سنجی مدل مورد استفاده قرار می‌گیرد.

۱- گرفتن داده‌های آزمایشگاهی

سری پیل سوختی مورد نظر که در شکل ۲ نمایش داده شده است، تحت شرایط مختلف دمای سری، فشار ورودی گازهای واکنش‌دهنده و جریان سری مورد بررسی قرار گرفت و دسته‌بندی ۳۲۹۴۲۰ داده آزمایشگاهی با توجه به شرایط آزمایش در ۱۸۹ حالت مختلف صورت پذیرفت. دستگاه تست پیل سوختی ۵ کیلووات جهت انجام تست‌های آزمایشگاهی و اخذ داده‌های مورد نیاز برای شناسایی پارامترهای نامعلوم مدل سری پیل سوختی ساخته شده مورد استفاده قرار می‌گیرد. انرژی الکتریکی تولید شده توسط پیل سوختی توسط الکترونیک‌لود ۵/۲ کیلوواتی کشیده می‌شود. اپراتور از طریق نرم‌افزار گرافیکی لب‌ویو با دستگاه تست ارتباط داشته و مانیتورینگ و کنترل سری پیل سوختی پلیمری را انجام می‌دهد. تصویری از نرم‌افزار مورد استفاده در شکل ۳ نمایش داده شده است. زمان داده‌برداری بر روی ۱۰۰ میلی ثانیه تنظیم گردیده است. داده‌های آزمایشگاهی فوق می‌بایست در ابتدا پایش شده و داده‌های پرت حذف شوند. سپس، میانگین مقادیر ولتاژهای پایش شده جهت شناسایی سیستم مورد استفاده قرار خواهد گرفت. بدین منظور، از روش کران‌های توکی جهت محاسبه ولتاژی که به مقدار واقعی نزدیک باشد استفاده شده است [۲۵].

براساس تنوع داده‌های آزمایشگاهی دمای سری و فشار ورودی گازهای واکنش‌دهنده، ۹ حالت متفاوت وجود دارد که به ازای هر کدام از این حالات نیز ۲۱ حالت جریان از جریان صفر تا جریان ۵۰۰ آمپر با طول ۵ام ۲۵ آمپر موجود است. جزئیات هر کدام از این حالت‌ها در جدول ۱ ارائه شده است.

ولتاژ پیل سوختی تابعی از جریان سری، فشار سمت کاتد، فشارهای جزیی واکنشگرهای رطوبت غشاء و دمای سری می‌باشد. اتلاف ولتاژ پیل سوختی به سه دسته تقسیم می‌شود: اتلاف فعال‌سازی (V_{act})، اتلاف اهمی (V_{conc}) و اتلاف غلظتی (V_{ohmic}). در این بخش، معادلات مربوط به محاسبه ولتاژ سری ارائه می‌شود. ولتاژ یک پیل سوختی منفرد به ولتاژ مدار باز پیل سوختی (E_{Nernst}) و اتلاف‌های ذکر شده وابسته می‌باشد و ولتاژ سری مجموع ولتاژ پیل‌ها می‌باشد [۲].

$$V_{st} = \sum_{i=1}^3 V_{FC} = \sum_{i=1}^3 n \left(E_{Nernst,FC} - V_{act,FC} - V_{ohmic,FC} - V_{conc,FC} \right) \quad (43)$$

که V_{conc} ، V_{ohmic} ، V_{act} و E_{Nernst} به صورت زیر تعریف می‌گردد [۲۶]:

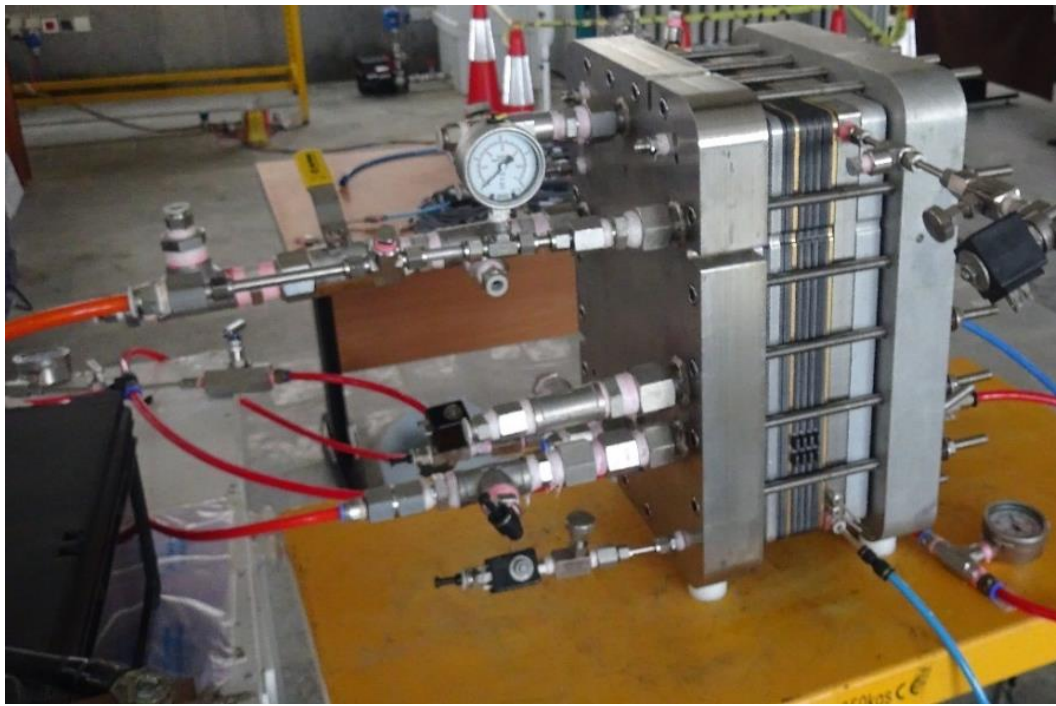
$$E_{Nernst,FC} = 1.229 - 8.5 \times 10^{-4} (T_{FC} - 298.15) + 4.308 \times 10^{-5} T_{FC} \left[\ln \frac{P_{H_2,FC}}{101325} + \frac{1}{2} \ln \frac{P_{O_2,FC}}{101325} \right] \quad (44)$$

$$V_{act,FC} = - \left(\xi_1 + \xi_2 T_{FC} + \xi_3 T_{FC} \ln \left(10^4 \times A_{FC} i_{FC} \right) + \xi_4 T_{FC} \ln \left(C_{O_2,FC}^* \right) \right) \quad (45)$$

$$V_{ohmic,FC} = \left(R_{m,FC(S_i)} + R_c \right) I_{st} \quad (46)$$

$$V_{conc,FC} = - \frac{RT_{FC}}{2F} \ln \left(1 - \frac{i_{FC}}{i_{max}} \right) \quad (47)$$

که i_{FC} و A_{FC} به ترتیب چگالی جریان و سطح فعال پیل سوختی می‌باشد.



شکل ۲. پیل سوختی پلیمری سه سل هیدروژن-اکسیژن انتهاباز با رطوبتزن یکپارچه.

Fig. 2. The flow-through three-cell hydrogen-oxygen PEM fuel cell with integrated humidifier.



شکل ۳. تصویری از نرم‌افزار گرافیکی مورد استفاده جهت ارتباط با دستگاه تست پیل سوختی

Fig. 3. Photo of the graphic software used to communicate with the fuel cell test bench.

جدول ۱. حالت‌های مجزا داده‌های آزمایشگاهی سری پیل سوختی پلیمری.

Table 1. Discrete modes of experimental data of PEM fuel cell stack.

جریان (A)	دما (°C)	فشار (Barg)
بازه‌ی ۰ تا ۵۰۰ با طول گام ۲۵	۶۰	۰/۵
	۷۰	۰/۵
	۵۵	۱
	۶۰	۱
	۶۵	۱
	۷۰	۱
	۷۵	۱
	۶۰	۱/۵
	۷۰	۱/۵

یکی از مناسب‌ترین نسبت‌های در نظر گرفته شده برای تقسیم‌بندی داده‌های آزمایشگاهی جهت شناسایی و صحت‌سنگی مدل، ۷۰٪ جهت آموزش مدل و ۳۰٪ جهت صحت‌سنگی می‌باشد [۲۶]. فرآیند شناسایی سیستم با استفاده از محیط نرم‌افزار متلب انجام شده است. این دستور برای زمانی که فیزیک سیستم قابل درک بوده و امکان نمایش سیستم با استفاده از معادلات دیفرانسیلی معمولی با پارامترهای نامعلوم وجود داشته باشد بکار گرفته می‌شود تا مدل جعبه خاکستری غیرخطی ایجاد گردد. با توجه به بکارگیری مدل زمان-پیوسته در این پژوهش، این دستور برای تخمین و شبیه‌سازی از روش رانگ-کوتا استفاده می‌نماید. الگوریتم شناسایی پارامترهای نامعلوم مدل پیل سوختی مورد مطالعه در شکل ۴ نمایش داده شده است.

۴- نتایج و تفسیر

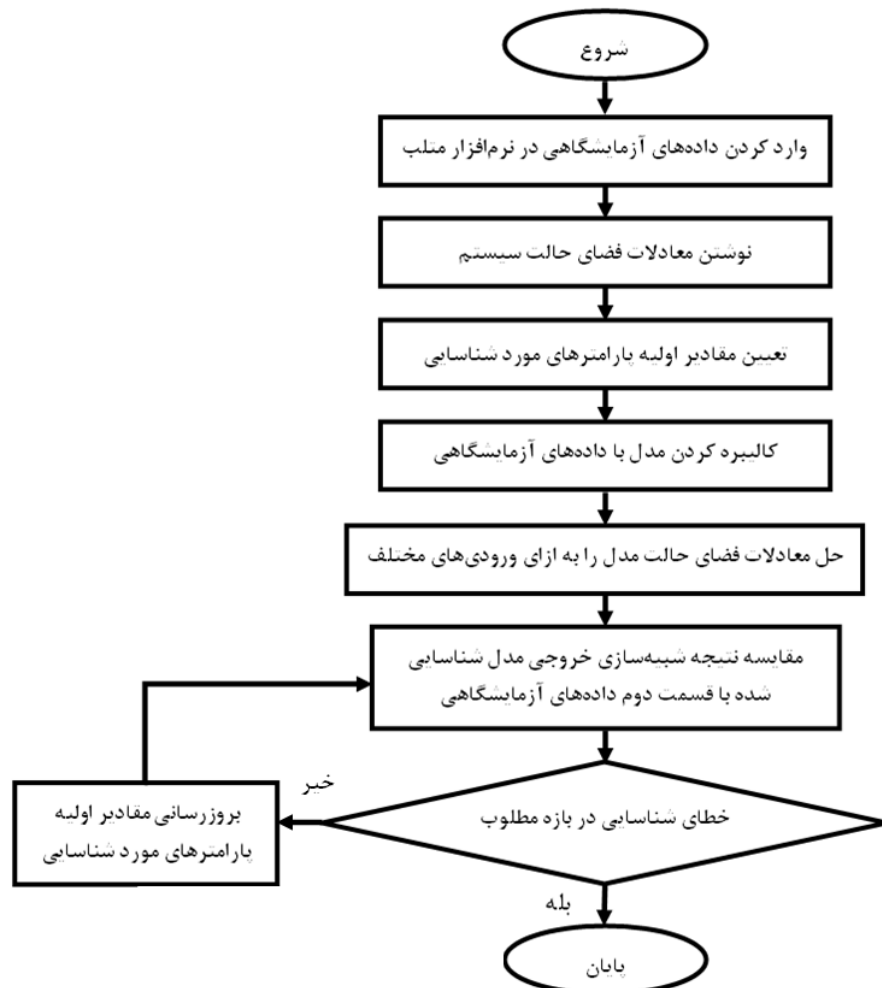
در این بخش به شناسایی پارامترهای غیرقابل اندازه‌گیری مدل پیل سوختی مورد مطالعه و همچنین ارزیابی رفتار مدل شناسایی شده پرداخته می‌شود. مقادیر عددی ثابت و مشخصات فیزیکی پیل سوختی مورد مطالعه که داده‌های آزمایشگاهی آن در این پژوهش استفاده شده است در جدول ۳ ارائه شده است. مقدار پارامترهای حجم لایه نفوذ گاز، ضربیت تخلخل لایه نفوذ گاز و بیشینه چگالی جریان که در مدل مورد نظر مورد استفاده قرار

۳-۲- شناسایی پارامترهای نامعلوم و صحت‌سنگی مدل
۱۳۵ حالت از ۱۸۹ حالت داده‌های آزمایشگاهی جهت آموزش مدل و ۵۴ حالت نیز جهت اعتبار سنجی مدل شناسایی شده استفاده شده‌اند. تمامی این حالات به صورت یک بردار عددی جهت آموزش و صحت‌سنگی در فرآیند شناسایی مورد استفاده قرار گرفتند. با استفاده از داده‌های آزمایشگاهی، مقدار پارامترهای نامعلوم و غیرقابل اندازه‌گیری مدل شناسایی و کالیبراسیون مدل انجام می‌شود. در مدل پیل سوختی پلیمری مورد مطالعه، ۱۳ پارامتر جهت شناسایی در نظر گرفته شدند که عبارتند از: مقاومت تماسی معادل هدایت الکترون (R_C)، ضرایب اوریفیس پیش و پس از رطوبت‌زن سمت آند و کاتد ($k_{ca,b,H}$ ، $k_{ca,a,Hu}$ ، $k_{an,b,Hu}$ ، $k_{an,a,Hu}$)، ضرایب اوریفیس آب ($k_{l,an,a,FC}$ ، $k_{l,ca,a,FC}$)، ضرایب اوریفیس گازهای خروجی سمت آند و کاتد ($k_{an,a,FC}$ ، $k_{ca,a,FC}$) و ثابت‌های رابطه افت ولتاژ فعالسازی ($\gamma_1, \gamma_2, \gamma_3, \gamma_4$). فرآیند شناسایی سیستم انجام شده در این مقاله از نوع چند ورودی-یک خروجی به صورت همزمان است. ورودی‌های مدل فشار ورودی گازهای واکنش‌دهنده، دمای کاری و جریان پیل سوختی بوده و خروجی نیز ولتاژ خروجی پیل سوختی می‌باشد. معادلات فضایی حالت سیستم غیرخطی نیز شامل ۱۶ معادله (معادلات (۱)-(۴)، (۹)-(۱۴)، (۳۳)-(۳۶)، (۴۱) و (۴۲)) با متغیرهای حالت ارائه شده در جدول ۲ می‌باشد.

جدول ۲. متغیرهای حالت مدل سری پیل سوختی پلیمری هیدروژن-اکسیژن انتهاباز با رطوبتزن یکپارچه.

Table 2. State variables of model of hydrogen-oxygen flow-through PEM fuel cell stack with integrated humidifier.

نماد	متغیر حالت	نماد	متغیر حالت
$m_{l,an,FC}$	جرم آب مایع در آند پیل سوختی	$m_{O_2,Hu(O_2)}$	جرم اکسیژن در رطوبتزن اکسیژن
$m_{l,ca,FC}$	جرم آب مایع در کاتد پیل سوختی	$m_{v,Hu(O_2)}$	جرم بخار آب در رطوبتزن اکسیژن
$p_{v,an,GDL,FC}$	آند GDL فشار جزئی بخار آب در	$m_{H_2,Hu(H_2)}$	جرم هیدروژن در رطوبتزن هیدروژن
$p_{v,ca,GDL,FC}$	کاتد GDL فشار جزئی بخار آب در	$m_{v,Hu(H_2)}$	جرم بخار آب در رطوبتزن هیدروژن
$V_{l,an,GDL,FC}$	آند GDL حجم آب مایع در	$m_{H_2,FC}$	جرم هیدروژن در پیل سوختی
$V_{l,ca,GDL,FC}$	کاتد GDL حجم آب مایع در	$m_{v,an,FC}$	جرم بخار آب در آند پیل سوختی
T_{Hu}	دمای رطوبتزن	$m_{O_2,FC}$	جرم اکسیژن در پیل سوختی
T_{FC}	دمای پیل سوختی	$m_{v,ca,FC}$	جرم بخار آب در کاتد پیل سوختی



شکل ۴. الگوریتم شناسایی پارامترهای نامعلوم مدل

Fig. 4. Algorithm of the unknown parameters identification of the model.

جدول ۳. مقادیر عددی پارامترهای فیزیکی معادلات رطوبتزن، سری پبل سوختی و حرارتی سری پبل سوختی [۲۰]-[۲۷].

Table 3. Values of physical parameters of humidifier, fuel cell stack and thermal equations of fuel cell stack [20], [27]-[28].

پارامتر	مقدار	پارامتر	مقدار
سطح مقطع غشا رطوبتزن، A_{Hu} (cm^2)	۵۰۰	تعداد سل پبل سوختی، n_{FC}	۳
ضخامت غشا رطوبتزن، $t_{m,Hu}$ (mm)	25×10^{-3}	ضریب تخلخل لایه نفوذ گاز، ϵ	28126×10^{-3}
حجم کanal اکسیژن رطوبتزن، V_{Hu,O_2} (cm^3)	38126×10^{-3}	دماي اکسیژن خشک ورودی، $T_{O_{2,in}}$ (K)	۲۹۸
حجم کanal هیدروژن رطوبتزن، V_{Hu,H_2} (cm^3)	38126×10^{-3}	دماي هیدروژن خشک ورودی، $T_{H_{2,in}}$ (K)	۲۹۸
تعداد سلول رطوبتزن اکسیژن، n_{Hu,O_2}	۱	دماي آب ورودی، $T_{w,in}$ (K)	۲۹۸
تعداد سلول رطوبتزن هیدروژن، n_{Hu,H_2}	۱	دماي محیط، T_{amb} (K)	۲۹۸
سطح مقطع فعال غشا و الکترود، A_{FC} (cm^2)	۵۰۰	نرخ جريان جرمی آب گرمایش رطوبتزن، \dot{m}_{heat} (kg/s)	۱
ضخامت غشا، $t_{m,FC}$ (mm)	0.05	نرخ جريان جرمی آب خنک کاري پبل سوختی، \dot{m}_{cool} (kg/s)	۳
ضخامت لایه نفوذ گاز، t_{GDL} (mm)	235×10^{-3}	نرخ جريان جرمی آب ورودی به رطوبتزن، $\dot{m}_{w,in,Hu}$ (kg/s)	۰/۱
حجم لایه نفوذ گاز، V_{GDL} (cm^3)	$11/5$	نرخ جريان جرمی آب خروجي از رطوبتزن، $\dot{m}_{w,out,Hu}$ (kg/s)	۰/۱
حجم کanal کاتد يك سل، V_{ca} (cm^3)	20641×10^{-3}	بيشينه چگالي جريان، i_{max} (A/m^2)	۲
حجم کanal آند يك سل، V_{an} (cm^3)	20641×10^{-3}		

در پبل سوختی مورد مطالعه شناسایی می‌گردد. در نهایت، صحه‌گذاری مدل پیشنهادی با مقایسه بین خروجی مدل و داده‌های آزمایشگاهی مورد بررسی قرار می‌گیرد. به دلیل هزینه بالای محاسباتی و پردازشی، امکان شناسایی ۱۳ پارامتر مورد نظر به صورت همزمان امکان‌پذیر نبوده و این ۱۳ پارامتر طی دو مرحله شناسایی می‌شوند. در مرحله اول، با اختصاص مقادیر اولیه به ضرایب اوریفیس و با فرض ثابت بودن این مقادیر، شناسایی پارامترهای R_C ، $k_{ca,a,Hu}$ ، $k_{ca,b,Hu}$ و $k_{an,a,FC}$ ، $k_{l,ca,a,FC}$ ، $k_{an,b,Hu}$ ، $k_{an,a,FC}$ پارامترهای نامعلوم مدل می‌باشند که اندازه‌گیری مقادیر عددی این پارامترها امکان‌پذیر نمی‌باشد. از این‌رو، نیاز است تا شناسایی پارامترهای ذکر شده با استفاده از داده‌های آزمایشگاهی صورت پذیرد. ۱۳۵ حالت از ۱۸۹ حالت داده‌های آزمایشگاهی اخذ شده جهت شناسایی پارامترهای نامعلوم و ۵۴ حالت نیز جهت اعتبارسنجی مدل شناسایی شده، استفاده شده است. پارامترهای نامعلوم مدل بر اساس خصوصیات هندسی و مواد بکار گرفته شده

گرفته است، با استفاده از مراجع ارائه شده در جدول ۳ تعیین گردید. ولتاژ خروجی پبل سوختی مورد نظر به عنوان معیار صحتسنجی دینامیک و فیزیکی که برای آن ارائه شده است مورد استفاده قرار می‌گیرد.

۴-۱- شناسایی، پارامترهای نامعلوم و کالیبراسیون مدل

و ضرایب اوریفیس (R_C ، $k_{ca,a,Hu}$ ، $k_{ca,b,Hu}$ و $k_{an,a,FC}$ ، $k_{l,ca,a,FC}$ ، $k_{an,b,Hu}$ ، $k_{an,a,FC}$) پارامترهای نامعلوم مدل می‌باشند که اندازه‌گیری مقادیر عددی این پارامترها امکان‌پذیر نمی‌باشد. از این‌رو، نیاز است تا شناسایی پارامترهای ذکر شده با استفاده از داده‌های آزمایشگاهی صورت پذیرد. ۱۳۵ حالت از ۱۸۹ حالت داده‌های آزمایشگاهی اخذ شده جهت شناسایی پارامترهای نامعلوم و ۵۴ حالت نیز جهت اعتبارسنجی مدل شناسایی شده، استفاده شده است. پارامترهای نامعلوم مدل بر اساس خصوصیات هندسی و مواد بکار گرفته شده

جدول ۴. مقادیر عددی پارامترهای شناسایی شده مدل.

Table 4. Values of identified parameters of the model.

پارامتر	مقدار عددی شناسایی شده در مرحله اول	پارامتر	مقدار عددی شناسایی شده در مرحله دوم
$k_{ca,b,Hu}$	$-4/84 \times 10^{-1}$	ζ_1	$3/63 \times 10^{-9}$
$k_{ca,a,Hu}$	$5/14 \times 10^{-4}$	ζ_2	$3/61 \times 10^{-9}$
$k_{an,b,Hu}$	$-1/81 \times 10^{-5}$	ζ_3	$3/62 \times 10^{-9}$
$k_{an,a,Hu}$	$-2/68 \times 10^{-5}$	ζ_4	$3/61 \times 10^{-9}$
$k_{l,an,a,FC}$			$3/60 \times 10^{-9}$
$k_{l,ca,a,FC}$	$2/57 \times 10^{-4}$	R_C	$3/60 \times 10^{-9}$
$k_{an,a,FC}$			$3/63 \times 10^{-9}$
$k_{ca,a,FC}$			$3/63 \times 10^{-9}$

جدول ۵. بررسی حداکثر میزان خطای مدل سری پیل سوختی شناسایی شده در حالات مختلف.

Table 5. Investigating the maximum error of the identified fuel cell stack model in different conditions.

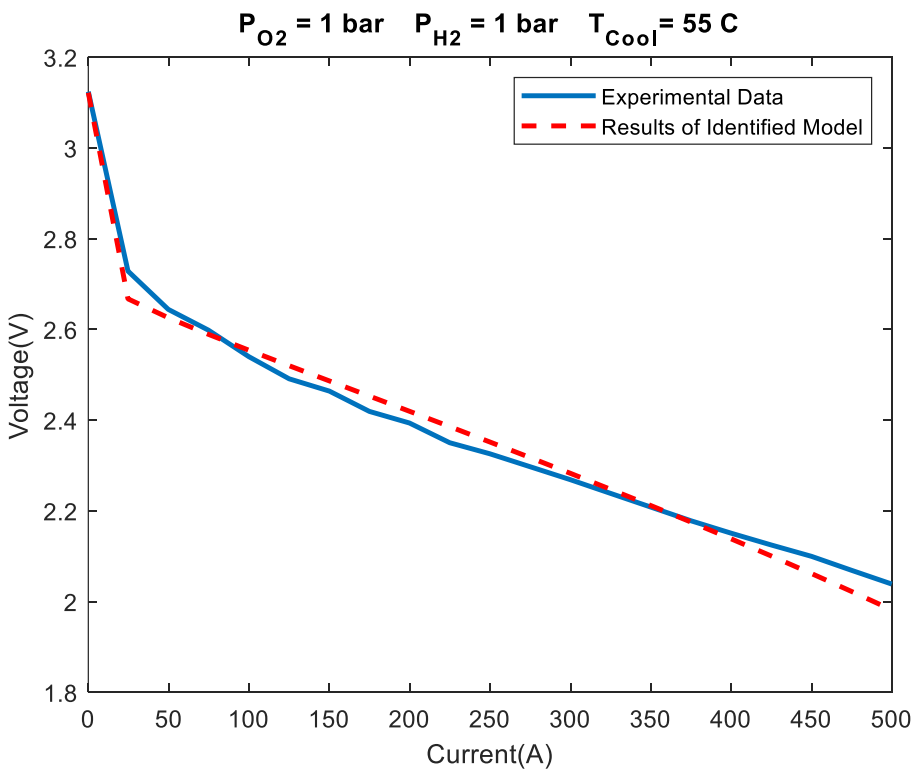
تعداد حالات	میزان خطأ
۱۳۵ (آموزش)	%۰ تا %۱
۵۴ (صحت‌سنگی)	%۲ تا %۳

به ترتیب در شکل ۵ و شکل ۶ نمایش داده شده است. همان‌طور که شکل ۶ مشخص شده است، بیشینه مربع خطا (برای جریان ۲۵ آمپر) کمتر از $0/۴$ درصد می‌باشد. همچنین، میانگین مربع خطاهای برای حالت ذکر شده برابر $0/۰۸۴۷$ درصد شده است که نشان از تطابق بسیار مناسب بین نتایج مدل و داده‌های آزمایشگاهی دارد.

شکل ۷ نیز نمایشگر مقایسه میان ولتاژ الکتریکی پیل سوختی حاصل از مقادیر آزمایشگاهی و مدل شناسایی شده برای پروفیل جریان مورد نظر می‌باشد. همان‌طور که در شکل ۷ نشان داده شده است، تطابق مناسبی بین نتایج مدل شناسایی شده و داده‌های آزمایشگاهی در حوزه زمان وجود دارد. لازم به ذکر است که با افزایش جریان، مقدار ولتاژ الکتریکی پیل سوختی با شبیه‌کرنی کاهش می‌یابد.

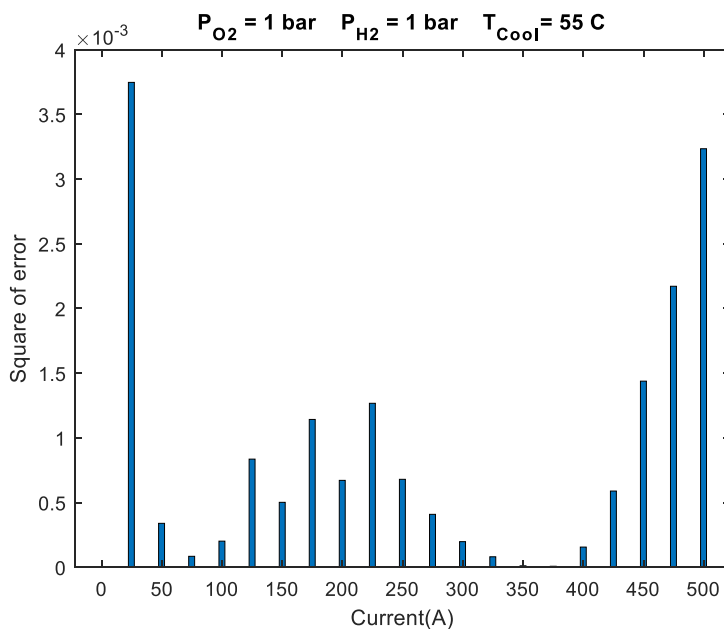
پس از انجام فرآیند شناسایی، پارامترهای بدست آمده در معادلات اصلی جایگذاری شده و ولتاژ خروجی استخراج شده از نتایج شبیه‌سازی عددی با داده‌های آزمایشگاهی مقایسه و اعتبارسنجی می‌شود. میانگین خطای ولتاژ پیل سوختی مدل شناسایی شده در ۱۸۹ حالت در مقایسه با مقادیری از ولتاژ که پس از حذف داده‌های پرت و میانگین‌گیری وزنی از مقادیر آزمایشگاهی بدست آمد، برابر با $1/۰۳$ درصد است. خلاصه‌ای از پراکندگی میزان خطای مدل به ازای شرایط مختلف در جدول ۵ ذکر شده است.

جهت اعتبارسنجی مدل پیل سوختی شناسایی شده، مقایسه نتایج منحنی پلاریزاسیون پیل سوختی حاصل از این مدل و مقادیر آزمایشگاهی و همچنین مربع خطاهای میان ولتاژ پیل سوختی تخمین زده شده و داده‌های آزمایشگاهی، برای فشار گازهای واکنشگر ۱ بار و دمای ۵۵ درجه سانتیگراد



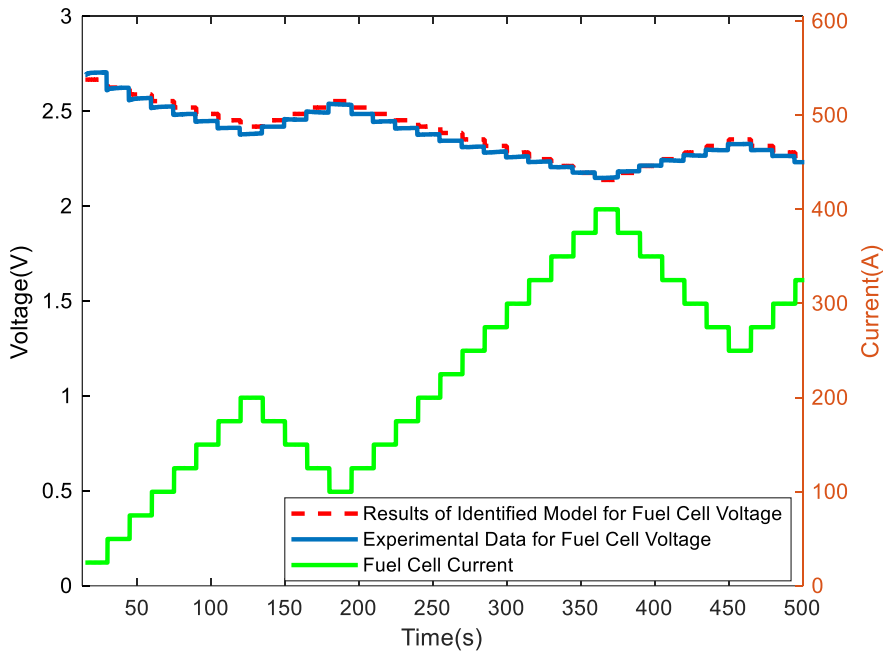
شکل ۵. مقایسه نتایج شبیه‌سازی منحنی پلاریزاسیون بیل سوختی با داده‌های آزمایشگاهی.

Fig. 5. Comparison of fuel cell polarization curve simulation results with experimental data.



شکل ۶. مربع خطای میان ولتاژ بیل سوختی تخمین زده شده و داده‌های آزمایشگاهی.

6. Error square between estimated fuel cell voltage and experimental data.



شکل ۷. مقایسه نتایج شبیه‌سازی پاسخ زمانی ولتاژ پیل سوختی با داده‌های آزمایشگاهی.

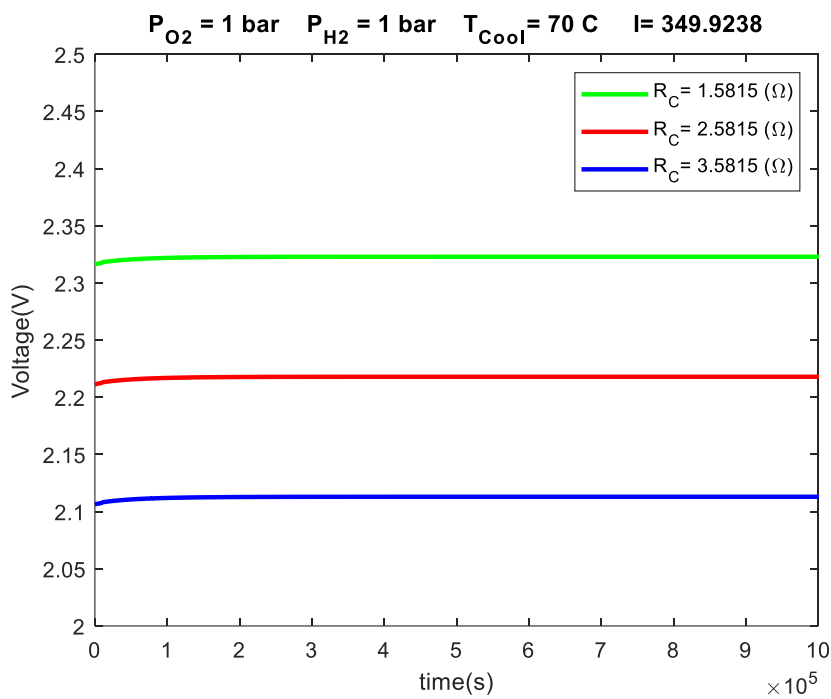
Fig. 7. Comparison of fuel cell time response simulation results with experimental data.

۱۰ نشان‌دهنده ولتاژ خروجی پیل سوختی پلیمری مورد نظر با جایگذاری مقادیر عددی جدول ۳ در معادلات مدل و تحت شرایط ورودی ارائه شده در شکل می‌باشد. در شکل ۶ نمودار ولتاژ خروجی پیل سوختی مورد مطالعه بر حسب زمان تا زمانی که ولتاژ به مقدار پایا برسد، رسم شده است. بر اساس معادله (۴۳)، ولتاژ خروجی پیل سوختی به صورت یک رابطه خطی بر حسب ولتاژ مدار باز پیل سوختی و اتلاف ولتاژهای فعال‌سازی، اهمی و غلظتی می‌باشد. در شکل ۱۱، مقادیر شبیه‌سازی شده این اتلاف ولتاژها برای مقادیر ورودی ارائه شده نمایش داده شده است. همان‌گونه که مشاهده می‌شود اتلاف ولتاژ فعال‌سازی، قسمت عمده این اتلاف ولتاژ را تشکیل می‌دهد. مطابق معادله (۴۵)، اتلاف ولتاژ فعال‌سازی با دمای پیل سوختی، فشار گاز اکسیژن، جریان پیل سوختی و سطح مقطع فعال غشاء رابطه مستقیم دارد. همچنین، جهت محاسبه مقدار اتلاف ولتاژ فعال‌سازی نیاز به مقادیر پارامترهای ثابت^۱, ^۲, ^۳, ^۴ می‌باشد که این مقادیر تحت فرآیند شناسایی سیستم محاسبه و صحت سنجی می‌شوند. با توجه به معادلات (۴۳) و (۴۴)، ولتاژ مدار باز پیل سوختی، تابعی از فشار گازهای هیدروژن و اکسیژن و همچنین دمای پیل سوختی بوده

میزان حساسیت مدل شناسایی شده نسبت به مقاومت تماسی معادل هدایت الکترون در شکل ۸ نمایش داده شده است. با توجه به این شکل، با افزایش ۶۵ درصدی مقاومت تماسی معادل هدایت الکترون، میزان افت ولتاژ کاهش و ولتاژ خروجی پیل سوختی ۷/۴ درصد افزایش می‌یابد. همچنین حساسیت ولتاژ خروجی پیل سوختی شناسایی شده نسبت به ضرایب اریفیس گازهای خروجی در شکل ۹ نشان داده شده است. مطابق انتظار با افزایش ضرایب اریفیس‌ها، ولتاژ خروجی پیل سوختی افزایش می‌یابد. با توجه به شکل ۸ و شکل ۹، مشاهده می‌شود که همبستگی ولتاژ پیل سوختی به مقاومت تماسی معادل هدایت الکترون بیشتر از ضرایب اریفیس‌ها می‌باشد.

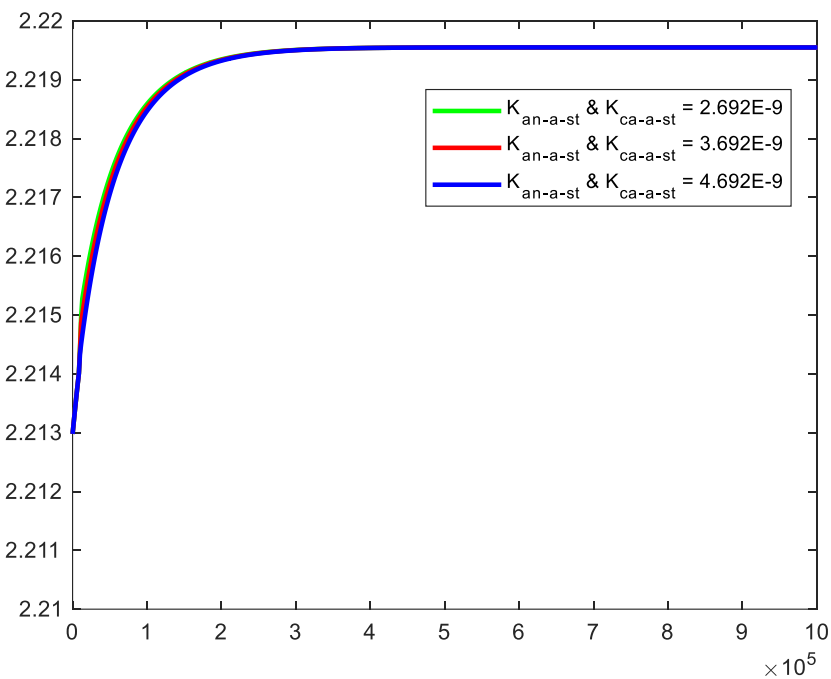
۴-۲- بررسی مدل دینامیکی پیل سوختی پلیمری هیدروژن-اکسیژن با رطوبتزن یکپارچه

در این بخش، نتایج حاصل از شبیه‌سازی عددی معادلات مدل پیل سوختی هیدروژن-اکسیژن انتهایاز سه سل با رطوبتزن یکپارچه شناسایی شده ارائه می‌شود. حل تمامی معادلات دیفرانسیل شبیه‌سازی پیل سوختی مورد مطالعه در این بخش بر اساس روش رانگ-کوتا انجام شده است. شکل



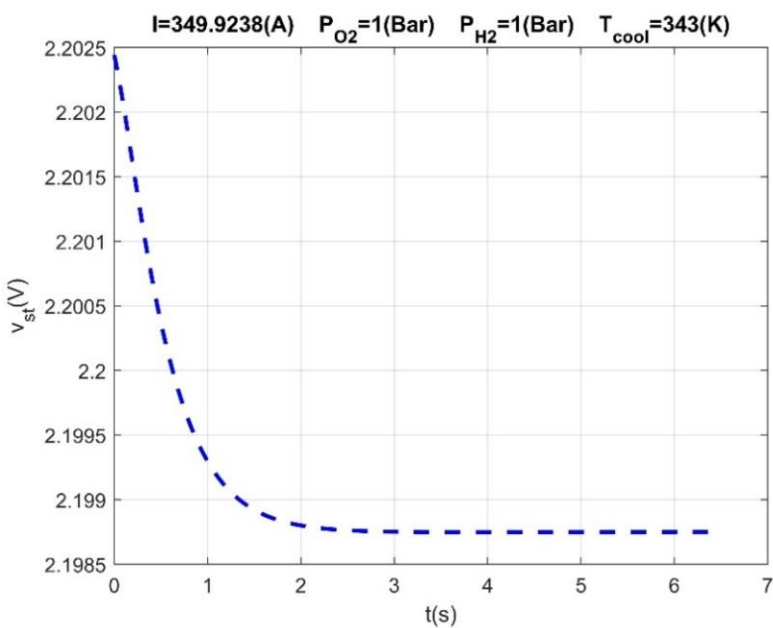
شکل ۸. حساسیت مدل پیل سوختی پلیمری انتهاباز هیدروژن-اکسیژن به مقاومت تماسی معادل هدایت الکترون.

Fig. 8. Sensitivity analysis of hydrogen-oxygen flow-through PEM fuel cell model to equivalent contact resistance of electron conduction.



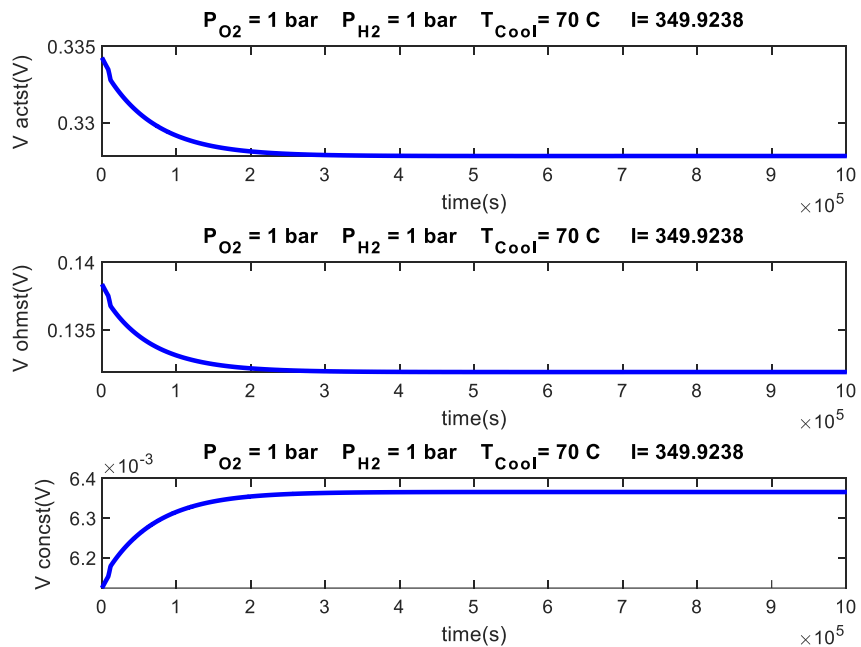
شکل ۹. حساسیت مدل پیل سوختی پلیمری انتهاباز هیدروژن-اکسیژن به ضرایب اوریفیس گازهای خروجی سمت آند و کاتد.

Fig. 9. Sensitivity analysis of hydrogen-oxygen flow-through PEM fuel cell model to orifice constants of exhaust gases of the anode and cathode sides.



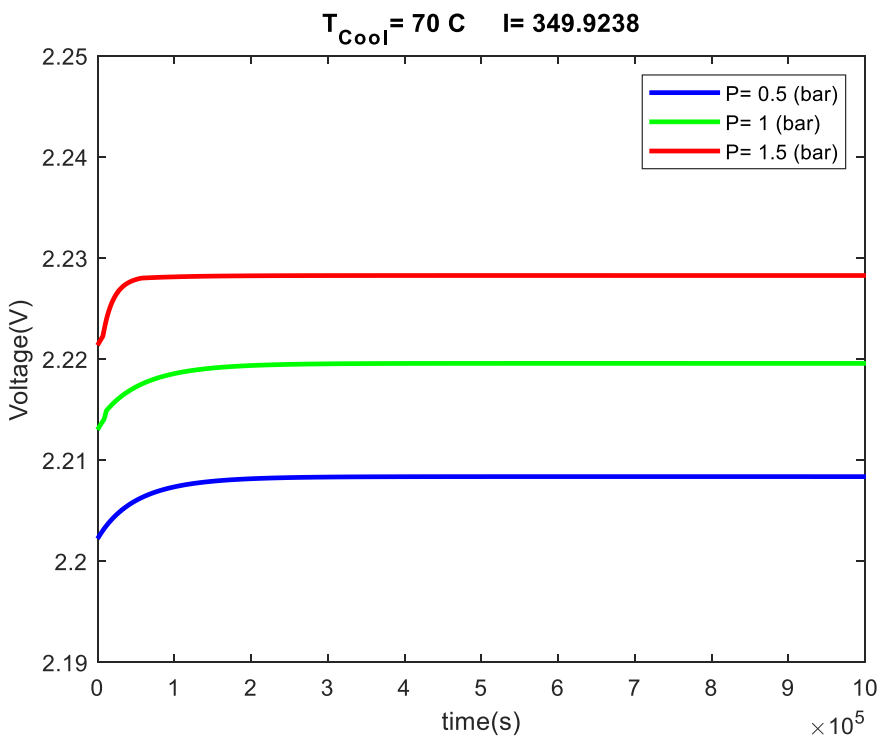
شکل ۱۰. ولتاژ خروجی پیل سوختی پلیمری انتها باز هیدروژن-اکسیژن.

Fig. 10. Output voltage of hydrogen-oxygen flow-through PEM fuel cell.



شکل ۱۱. اتلاف ولتاژ فعال سازی، اهمی و غلظتی پیل سوختی پلیمری انتها باز هیدروژن-اکسیژن.

Fig. 11. Activation, ohmic and concentration voltage losses of hydrogen-oxygen flow-through PEM fuel cell.



شکل ۱۲. تاثیر فشار ورودی گازهای واکنش‌دهنده بر ولتاژ خروجی پیل سوختی پلیمری انتهای‌باز هیدروژن-اکسیژن.

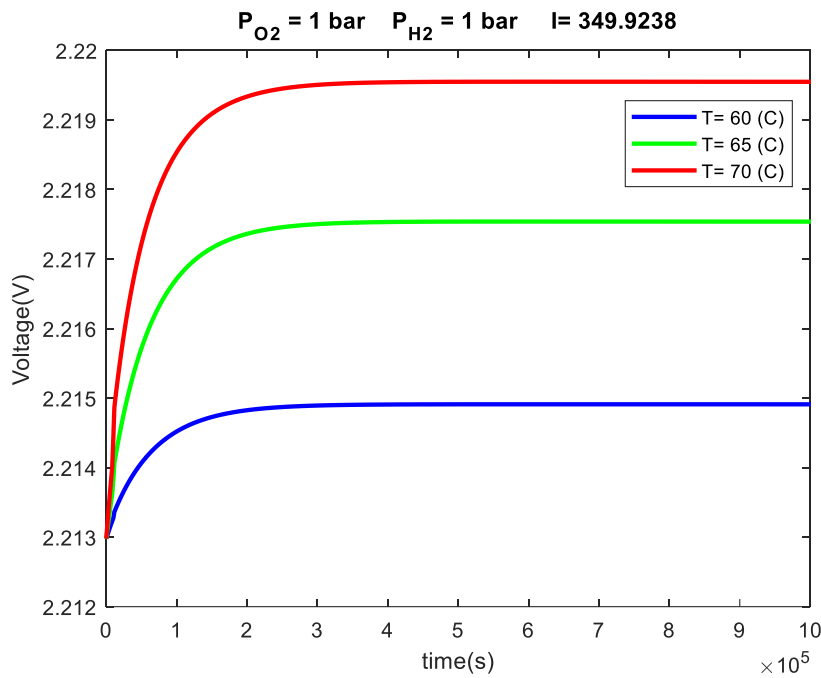
Fig. 12. Effect of inlet pressure of reactant gases on the output voltage of hydrogen-oxygen flow-through PEM fuel cell.

استحصال شده از پیل سوختی موثر است، اما با توجه به دمای کم گازهای واکنش‌دهنده از آن صرف نظر شده است. در ادامه، تاثیر دمای سیال خنک‌کاری بر ولتاژ خروجی پیل سوختی ارزیابی شده است. در شکل ۱۳ مشاهده می‌شود که با افزایش دمای سیال خنک‌کاری، ولتاژ خروجی پیل سوختی کاهش می‌یابد. نتایج مرجع [۲۸] نیز صحت روند ارائه شده در شکل ۱۳ را تایید می‌نماید.

شکل ۱۴ و شکل ۱۵ نیز به ترتیب نشان‌دهنده اثر میزان جریان سری پیل سوختی روی ولتاژ و توان سری پیل سوختی می‌باشد. همان‌طور که در شکل ۱۴ نشان داده شده است، افزایش جریان سری پیل سوختی باعث کاهش ولتاژ می‌شود، اما در عین حال افزایش جریان سری پیل سوختی تاثیر بیشتری نسبت به کاهش ولتاژ خروجی دارد که در نهایت توان سری پیل سوختی افزایش می‌یابد (شکل ۱۲).

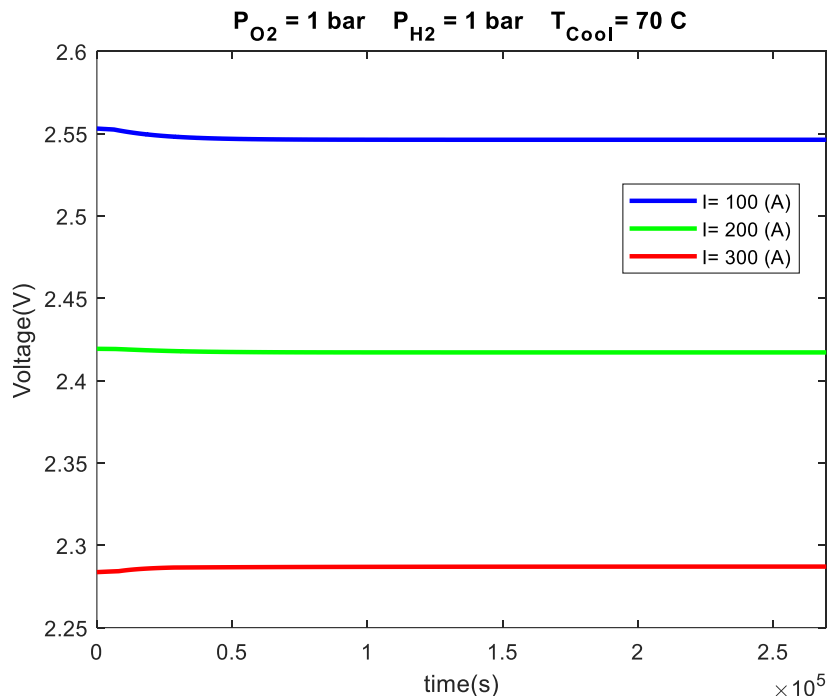
و با آن‌ها رابطه مستقیم دارد. به همین علت، هرچه میزان فشار ورودی گاز هیدروژن بیشتر شود ولتاژ مدار باز پیل سوختی نیز افزایش می‌یابد. شکل ۱۲ میزان تاثیر فشار ورودی گازهای واکنش‌دهنده را نشان می‌دهد. مطابق با معادلات (۴۴) و (۴۵)، افزایش فشار گاز اکسیژن نیز علاوه بر افزایش ولتاژ مدار باز پیل سوختی منجر به کاهش اتلاف ولتاژ فعال‌سازی می‌شود. در نتیجه می‌توان عنوان کرد با افزایش فشار گازهای واکنش‌دهنده، میزان ولتاژ خروجی پیل سوختی نیز اندکی افزایش می‌یابد. با افزایش فشار گازهای ورودی، میزان واکنش الکتروشیمیایی افزایش یافته و در نتیجه انرژی الکتریکی بیشتری استحصال می‌شود.

با توجه به معادلات (۴۷)–(۴۵)، دما رابطه مستقیم با اتلاف غلظتی و رابطه عکس با اتلاف فعال‌سازی و اهمی دارد. اگرچه دمای گازهای واکنش‌دهنده ورودی به پیل سوختی نیز بر روی میزان انرژی الکتریکی



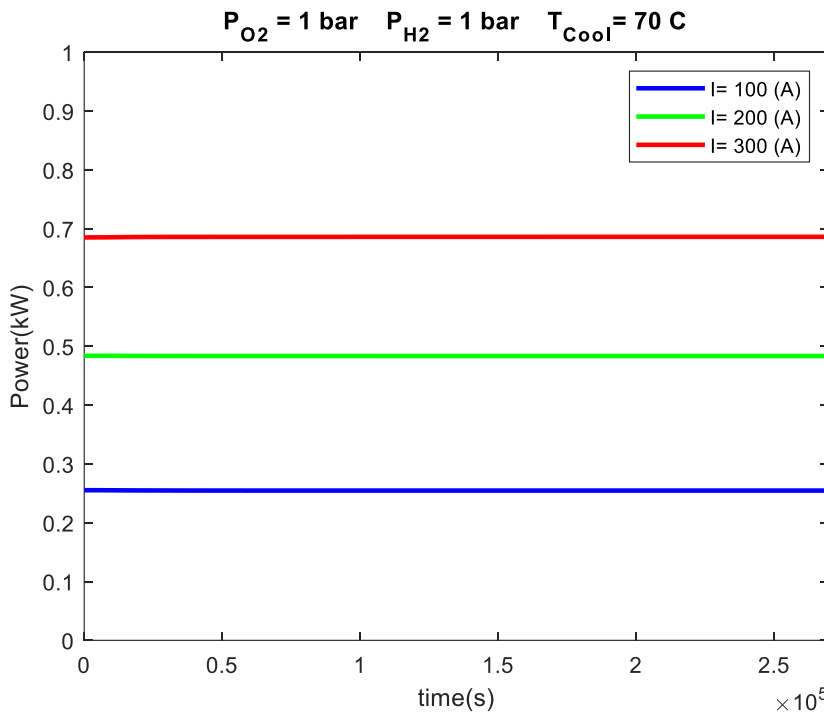
شکل ۱۳. تاثیر دمای ورودی سیال خنک کاری بر ولتاژ خروجی پیل سوختی پلیمری انتهاباز هیدروژن-اکسیژن.

Fig. 13. Effect of inlet temperature of coolant on the output voltage of hydrogen-oxygen flow-through PEM fuel cell.



شکل ۱۴. تاثیر جریان پیل سوختی بر روی ولتاژ خروجی پیل سوختی پلیمری انتهاباز هیدروژن-اکسیژن.

Fig. 14. Effect of fuel cell current on the output voltage of hydrogen-oxygen flow-through PEM fuel cell.



شکل ۱۵. تاثیر جریان پیل سوختی بر روی توان پیل سوختی پلیمری انتهاباز هیدروژن-اکسیژن.

Fig. 15. Effect of fuel cell current on the power of hydrogen-oxygen flow-through PEM fuel cell.

- پارامترهای مجھول مدل با میانگین خطای $1/0.3$ نسبت به داده‌های آزمایشگاهی مورد شناسایی چند ورودی-یک خروجی قرار گرفت.
- بررسی و تحلیل همبستگی میان ولتاژ پیل سوختی و پارامترهای مدل از قبیل مقاومت تماسی معادل هدایت الکترون و ضرایب اریفیس‌ها مورد تحلیل قرار گرفت و مشاهده شد که مقاومت تماسی معادل هدایت الکترون نسبت به سایر پارامترهای شناسایی شده دارای تاثیر بیشتری می‌باشد.

۶- فهرست علائم

منابع

- [1] Y. Wang, D.F.R. Diaz, K.S. Chen, Z. Wang, X.C. Adroher, Materials, technological status, and fundamentals of PEM fuel cells—a review, *Materials today*, 32 (2020) 178-203.
- [2] J.T. Pukrushpan, A.G. Stefanopoulou, H. Peng, Control of fuel cell power systems: principles, modeling, analysis and feedback design, Springer Science & Business Media, 2004.

۵- نتیجه‌گیری

در این مقاله، مدلسازی جعبه خاکستری و شناسایی سیستم پیل سوختی پلیمری هیدروژن-اکسیژن سه سل انتهای باز با رطوبتزن یکپارچه مورد بررسی قرار گرفته است. مدل پیل سوختی ارائه شده در این پژوهش از نوع چند ورودی-یک خروجی می‌باشد. در این پژوهش، مدلسازی صفر بعدی غیرخطی سیالاتی، ترمودینامیکی و الکتروشیمیایی پیل سوختی پلیمری با رطوبتزن یکپارچه انجام شده است. همچنین، پارامترهای نامعلوم مدل پیل سوختی مورد مطالعه با استفاده از روش شناسایی پارامتر چند ورودی-یک خروجی و بر اساس کمینه‌سازی خطای پیش‌بینی، به روش ناحیه‌های صحیح انعکاسی نیوتون و همچنین بخشی از داده‌های آزمایشگاهی تعیین گردید. در نهایت، اعتبارسنجی مدل بدست آمده با استفاده از داده‌های آزمایشگاهی تست مورد بررسی قرار گرفته است. برخی از نتایج این مقاله در بخش ذیل فهرست شده است:

- تست‌های جامع آزمایشگاهی روی پیل سوختی پلیمری هیدروژن-اکسیژن با رطوبتزن یکپارچه انجام شد و ۳۳۹۴۲۰ داده آزمایشگاهی تحت شرایط مختلف دمای سری، فشار ورودی گازهای واکنش‌دهنده و جریان سری ضبط گردید.

- [12] M.M. Barzegari, M. Dardel, E. Alizadeh, A. Ramiar, Dynamic modeling and validation studies of dead-end cascade H₂/O₂ PEM fuel cell stack with integrated humidifier and separator, *Applied energy*, 177 (2016) 298-308.
- [13] M. Ye, X. Wang, Y. Xu, Parameter identification for proton exchange membrane fuel cell model using particle swarm optimization, *International journal of hydrogen energy*, 34(2) (2009) 981-989.
- [14] R.I. Salim, H. Noura, A. Fardoun, A parameter identification approach of a PEM fuel cell stack using particle swarm optimization, in: ASME 2013 11th International Conference on Fuel Cell Science, Engineering and Technology collocated with the ASME 2013 Heat Transfer Summer Conference and the ASME 2013 7th International Conference on Energy Sustainability, American Society of Mechanical Engineers, 2013, pp. V001T003A011-V001T003A011.
- [15] S. De Lira, V. Puig, J. Quevedo, Robust LPV model-based sensor fault diagnosis and estimation for a PEM fuel cell system, in: Control and Fault-Tolerant Systems (SysTol), 2010 Conference on, IEEE, pp. 819-824.
- [16] S.L. Chavan, D.B. Talange, System identification black box approach for modeling performance of PEM fuel cell, *Journal of Energy Storage*, 18 (2018) 327-332.
- [17] S. Kelouwani, K. Adegnon, K. Agbossou, Y. Dube, Online system identification and adaptive control for PEM fuel cell maximum efficiency tracking, *IEEE Transactions on Energy Conversion*, 27(3) (2012) 580-592.
- [18] A.K. Pinagapani, G. Mani, K. Chandran, K. Pandian, E. Sawantmorye, P. Vaghela, Dynamic modeling and validation of PEM fuel cell via system identification approach, *Journal of Electrical Engineering & Technology*, 16(4) (2021) 2211-2220.
- [19] D. Chen, W. Li, H. Peng, An experimental study and model validation of a membrane humidifier for PEM fuel cell humidification control, *Journal of Power Sources*, 180(1) (2008) 461-467.
- [20] J. Alejandro, A. Arce, C. Bordons, Development and
- [3] N. Baharloo, E. Afshari, Methods of humidification of reactant gases of polymer electrolyte membrane fuel cells, *Mechanical Engineering*, 22(5) (2013) 49-59 (in Persian).
- [4] V.K. Firouzjaei, S. Rahgoshay, M. Khorshidian, Planar membrane humidifier for fuel cell application: Numerical and experimental case study, *International Journal of Heat and Mass Transfer*, 147 (2020) 118872.
- [5] M. Khorshidian, S.M. Rahgoshay, M. Rahimi, S.H. Masroori, Experimental study of performance of an integrated hydrogen-oxygen dead-end polymer electrolyte membrane fuel cell stack power system with a large active area and internal humidification system, *Amirkabir Journal of Mechanical Engineering*, 53(3) (2021) 19-19 (in Persian).
- [6] R. Petrone, Z. Zheng, D. Hissel, M.-C. Péra, C. Pianese, M. Sorrentino, M. Béchérif, N. Yousfi-Steiner, A review on model-based diagnosis methodologies for PEMFCs, *International Journal of Hydrogen Energy*, 38(17) (2013) 7077-7091.
- [7] I. Arsie, A. Di Domenico, C. Pianese, M. Sorrentino, A multilevel approach to the energy management of an automotive polymer electrolyte membrane fuel cell system, *Journal of Fuel Cell Science and Technology*, 7(1) (2010).
- [8] A. Zeller, O. Rallieres, J. Regnier, C. Turpin, Diagnosis of a hydrogen/air fuel cell by a statistical model-based method, in: Vehicle Power and Propulsion Conference (VPPC), 2010 IEEE, IEEE, pp. 1-6.
- [9] A. Hernandez, D. Hissel, R. Outbib, Modeling and fault diagnosis of a polymer electrolyte fuel cell using electrical equivalent analysis, *Energy Conversion, IEEE Transactions on*, 25(1) 148-160.
- [10] B. Carnes, N. Djilali, Systematic parameter estimation for PEM fuel cell models, *Journal of Power Sources*, 144(1) (2005) 83-93.
- [11] A. Al-Othman, N.A. Ahmed, F. Al-Fares, M. AlSharidah, Parameter Identification of PEM Fuel Cell Using Quantum-Based Optimization Method, *Arabian Journal for Science and Engineering*, 40(9) (2015) 2619-2628.

- of Power Sources, 185(2) (2008) 952-960.
- [25] N.C. Schwertman, R. de Silva, Identifying outliers with sequential fences, Computational statistics & data analysis, 51(8) (2007) 3800-3810.
- [26] H. Liu, M. Cocea, Semi-random partitioning of data into training and test sets in granular computing context, Granular Computing, 2(4) (2017) 357-386.
- [27] M.M. Barzegari, M. Dardel, A. Ramiar, E. Alizadeh, An investigation of temperature effect on performance of dead-end cascade H₂/O₂ PEMFC stack with integrated humidifier and separator, International Journal of Hydrogen Energy, 41(4) (2016) 3136-3146.
- [28] C.-W. Yang, Y.-S. Chen, A mathematical model to study the performance of a proton exchange membrane fuel cell in a dead-ended anode mode, Applied energy, 130 (2014) 113-121.
- experimental validation of a PEM fuel cell dynamic model, Journal of power sources, 173(1) (2007) 310-324.
- [21] C. Panos, K. Kouramas, M. Georgiadis, E. Pistikopoulos, Modelling and explicit model predictive control for PEM fuel cell systems, Chemical Engineering Science, 67(1) (2012) 15-25.
- [22] J.H. Nam, M. Kaviany, Effective diffusivity and water-saturation distribution in single-and two-layer PEMFC diffusion medium, International Journal of Heat and Mass Transfer, 46(24) (2003) 4595-4611.
- [23] C. Ziogou, S. Voutetakis, S. Papadopoulou, M.C. Georgiadis, Modeling, simulation and experimental validation of a PEM fuel cell system, Computers & Chemical Engineering, 35(9) (2011) 1886-1900.
- [24] M. Outeiro, R. Chibante, A. Carvalho, A. De Almeida, A parameter optimized model of a proton exchange membrane fuel cell including temperature effects, Journal

چگونه به این مقاله ارجاع دهیم

M. M. Barzegari, A. h. Pahnabi, Dynamic Modeling and Parameter Identification of Hydrogen-Oxygen PEM Fuel Cell Model with Integrated Humidifier, Amirkabir J. Mech Eng., 55(3) (2023) 359-380.

DOI: [10.22060/mej.2023.21898.7537](https://doi.org/10.22060/mej.2023.21898.7537)

